

КОЛЕБАНИЯ СФЕРИЧЕСКОЙ ОБОЛОЧКИ С ВИБРОДЕМПФИРУЮЩИМ СЛОИСТЫМ ПОКРЫТИЕМ

Д. В. ВИТТ

(Дрезден, ГДР)

Рассматриваются колебания замкнутой сферической оболочки с вибродемпфирующим слоистым покрытием. Исследование базируется на теории многослойных тел [1, 2]. Учет вязкоупругих свойств материалов слоев при стационарных колебаниях основан на теории комплексного модуля [3]. Эффективность вибродемпфирующего слоистого покрытия оценивается по относительному рассеянию энергии [4]. Численные результаты, полученные с использованием ЭВМ, показывают влияние различных параметров на колебания сферической оболочки с покрытием.

1. Рассмотрим несущую оболочку толщины H_0 с расположенным на ее внешней поверхности многослойным покрытием, состоящим из n чередующихся слоев пониженной жесткости толщины s_k (мягкие слои) и n слоев повышенной жесткости толщины h_k (жесткие слои) ($k=1, 2, \dots, n$). Проскальзывание между слоями покрытия и несущей оболочкой отсутствует. Материалы слоев покрытия и несущей оболочки предполагаются линейными вязкоупругими, изотропными и однородными. Принимаем справедливой гипотезу Кирхгофа — Лява для жестких слоев, включая несущую оболочку, а для мягких слоев считаем существенными только деформации поперечных сдвигов и трансверсальные деформации, учитывая гипотезу о линейном законе изменения перемещений по толщине. Модули материалов слоев имеют вид [3]:

$$G^{[k]} = G_r^{[k]} (1 + i\eta^{[k]}), \quad \eta^{[k]} = G_i^{[k]} / G_r^{[k]} \quad (1.1)$$

и т. д. Индексы r и i характеризуют действительную и мнимую части модуля.

Рассмотрим сферическую многослойную оболочку, отнесенную к географической системе координат $x^1 = \alpha$, $x^2 = \beta$, где α — широта, β — долгота. Конечно-разностные дифференциальные уравнения движения с учетом инерционных сил в жестких (плотности материалов $\rho^{(k)}$) и мягких (плотности $\rho^{[k]}$) слоях получим из вариационного принципа Гамильтона — Остроградского [2]:

$$\frac{1}{R_k} \left[\frac{\partial N_{11}^{(k)}}{\partial \alpha} + \frac{1}{\sin \alpha} \frac{\partial N_{12}^{(k)}}{\partial \beta} + (N_{11}^{(k)} - N_{12}^{(k)}) \operatorname{ctg} \alpha - Q_1^{(k)} \right] + q_1^{*(k)} = 0$$

$$\frac{1}{R_k} \left[\frac{\partial N_{21}^{(k)}}{\partial \alpha} + \frac{1}{\sin \alpha} \frac{\partial N_{22}^{(k)}}{\partial \beta} + (N_{12}^{(k)} + N_{21}^{(k)}) \operatorname{ctg} \alpha - Q_2^{(k)} \right] + q_2^{*(k)} = 0 \quad (1.2)$$

$$-\frac{1}{R_k} \left[N_{11}^{(k)} + N_{22}^{(k)} + \frac{1}{\sin \alpha} \left\{ \frac{\partial (Q_1^{(k)} \sin \alpha)}{\partial \alpha} + \frac{\partial Q_2^{(k)}}{\partial \beta} \right\} \right] + q_3^{*(k)} = 0$$

$$Q_1^{(k)} = \frac{1}{R_k} \left[\frac{\partial M_{11}^{(k)}}{\partial \alpha} + \frac{1}{\sin \alpha} \frac{\partial M_{12}^{(k)}}{\partial \beta} + (M_{11}^{(k)} - M_{22}^{(k)}) \operatorname{ctg} \alpha \right]$$

$$Q_2^{(k)} = \frac{1}{R_k} \left[\frac{\partial M_{21}^{(k)}}{\partial \alpha} + \frac{1}{\sin \alpha} \frac{\partial M_{22}^{(k)}}{\partial \beta} + (M_{12}^{(k)} + M_{21}^{(k)}) \operatorname{ctg} \alpha \right]$$

$$q_j^{*(k)} = q_j^{(k)} + q_{*j}^{(k)} + q_{*j}^{*(k)} \quad (k=0,1,2,\dots,n)$$

$$q_{*1}^{(k)} = -\rho^{(k)} h_k \frac{\partial^2 v_\gamma^{(k)}}{\partial t^2} - \frac{1}{4} \left[\rho^{[k]} s_k \eta_{kn} \left(1 + \frac{c_k^*}{R_k} \right) \left(\frac{\partial^2 v_\gamma^{(k+1)}}{\partial t^2} + \frac{\partial^2 v_\gamma^{(k)}}{\partial t^2} \right) + \right.$$

$$\left. + \rho^{[k-1]} s_{k-1} \eta_{k0} \left(1 - \frac{c_{k-1}^{**}}{R_k} \right) \left(\frac{\partial^2 v_\gamma^{(k)}}{\partial t^2} + \frac{\partial^2 v_\gamma^{(k-1)}}{\partial t^2} \right) \right] \quad (\gamma=1,2)$$

$$q_{*3}^{(k)} = -\rho^{(k)} h_k \frac{\partial^2 w^{(k)}}{\partial t^2} - \frac{1}{4} \left[\rho^{[k]} s_k \eta_{kn} \left(1 + \frac{c_k^*}{R_k} \right) \left(\frac{\partial^2 w^{(k+1)}}{\partial t^2} + \frac{\partial^2 w^{(k)}}{\partial t^2} \right) + \right.$$

$$\left. + \rho^{[k-1]} s_{k-1} \eta_{k0} \left(1 - \frac{c_{k-1}^{**}}{R_k} \right) \left(\frac{\partial^2 w^{(k)}}{\partial t^2} + \frac{\partial^2 w^{(k-1)}}{\partial t^2} \right) \right]$$

$$q_{*1}^{*(k)} = -\frac{\eta_{kn}}{s_k} \left(1 + \frac{2c_k^*}{R_k} \right) Q_\gamma^{[k]} + \frac{\eta_{k0}}{s_{k-1}} \left(1 - \frac{2c_{k-1}^{**}}{R_k} \right) Q_\gamma^{[k-1]}$$

$$q_{*3}^{*(k)} = -\frac{1}{R_k \sin \alpha} \left\{ \frac{c_k^* \eta_{kn}}{s_k} \left[\frac{\partial (Q_1^{[k]} \sin \alpha)}{\partial \alpha} + \frac{\partial Q_2^{[k]}}{\partial \beta} \right] + \right.$$

$$\left. + \frac{c_{k-1}^{**} \eta_{k0}}{s_{k-1}} \left[\frac{\partial (Q_1^{[k-1]} \sin \alpha)}{\partial \alpha} + \frac{\partial Q_2^{[k-1]}}{\partial \beta} \right] \right\} +$$

$$+ \frac{\eta_{kn}}{s_k} \left(1 + \frac{c_k^*}{R_k} \right) N^{[k]} - \frac{\eta_{k0}}{s_{k-1}} \left(1 - \frac{c_{k-1}^{**}}{R_k} \right) N^{[k-1]}$$

$$c_k^* = 1/2(s_k + h_k), \quad c_{k-1}^{**} = 1/2(s_{k-1} + h_{k+1}), \quad \eta_{kj} = 1 - \delta_{kj}$$

Здесь $q_j^{(k)}$ — внешние нагрузки, приложенные к жестким слоям; $q_{*j}^{(k)}$ — инерционные силы; $q_{*j}^{*(k)}$ — нагрузки, действующие на k -й жесткий слой со

стороны $(k-1)$ -го и k -го мягких слоев; δ_{kj} — символ Кронекера; $N_\gamma^{(k)}$, $M_\gamma^{(k)}$ — элементарные усилия и моменты в жестких слоях; $Q_\gamma^{[k]}$ и $N^{[k]}$ — перерезывающие и трансверсальные усилия в мягких слоях; $v_\gamma^{(k)}$ и $w^{(k)}$ — составляющие вектора смещения срединной поверхности k -го жесткого слоя с радиусом R_k .

Целесообразно ввести в (1.2) функции Θ и χ по формулам

$$\Theta^{(k)} = \frac{1}{\sin \alpha} \left[\frac{\partial (v_1^{(k)} \sin \alpha)}{\partial \alpha} + \frac{\partial v_2^{(k)}}{\partial \beta} \right] + 2w^{(k)}$$

(1.3)

$$\chi^{(k)} = \frac{1}{2 \sin \alpha} \left[\frac{\partial (v_2^{(k)} \sin \alpha)}{\partial \alpha} - \frac{\partial v_1^{(k)}}{\partial \beta} \right]$$

и исключить из получающихся уравнений тангенциальные перемещения $v_1^{(k)}$ и $v_2^{(k)}$. В результате получим уравнения движения многослойной сферической оболочки в форме

$$\frac{A_k}{R_k^2} [(\nabla^2 + 1 - \nu_k) \Theta^{(k)} - (d_k^2 \nabla^2 + 1 - \nu_k) (\nabla^2 + 2) w^{(k)}] + \frac{1}{\sin \alpha} \left[\frac{\partial}{\partial \alpha} (q_1^{*(k)} \sin \alpha) + \frac{\partial q_2^{*(k)}}{\partial \beta} \right] = 0 \quad (1.4)$$

$$\frac{A_k}{R_k^2} (1 - \nu_k) (\nabla^2 + 2) \chi^{(k)} + \frac{1}{\sin \alpha} \left[\frac{\partial}{\partial \alpha} (q_2^{*(k)} \sin \alpha) - \frac{\partial q_1^{*(k)}}{\partial \beta} \right] = 0 \quad (1.5)$$

$$\frac{A_k}{R_k^2} \{ [d_k^2 \nabla^2 - (1 + \nu_k)] \Theta^{(k)} - d_k^2 [(\nabla^2 + 1 - \nu_k) (\nabla^2 + 2) w^{(k)}] + q_3^{*(k)} \} = 0 \quad (1.6)$$

$$A_k = \frac{E^{(k)} h_k}{1 - \nu_k^2}, \quad d_k^2 = \frac{1}{12} \left(\frac{h_k}{R_k} \right)^2 \quad (k=0, 1, 2, \dots, n)$$

$$\nabla^2 = \frac{1}{\sin \alpha} \left[\frac{\partial}{\partial \alpha} \left(\sin \alpha \frac{\partial}{\partial \alpha} \right) + \frac{1}{\sin \alpha} \frac{\partial^2}{\partial \beta^2} \right]$$

Уравнения (1.4), (1.6) содержат только $\Theta^{(k)}$ и $w^{(k)}$ а для $\chi^{(k)}$ получается независимое уравнение (1.5).

Для дальнейших исследований выполним некоторые упрощения. В случае тонкой многослойной оболочки можно пренебречь отношениями c_k^*/R_k и c_k^{**}/R_k по сравнению с единицей, т. е. не учитывать изменение метрики по толщине. Если мягкие слои работают только на сдвиг, то следует пренебречь удлинениями нормалей, что дает $w^{(k)} = w$. В этом случае можно просуммировать уравнения (1.6) по k . Количество уравнений при этом уменьшается до $2(n+1)+1$. Для полой многослойной оболочки получим уравнения движения в виде ($c_k = c_k^* + c_k^{**}$):

$$\frac{A_k}{R_k^2} [\nabla^2 \Theta^{(k)} - (1 - \nu_k) \nabla^2 w] + \frac{G^{[k]} \eta_{kn}}{s_k} \left(\Theta^{(k+1)} - \Theta^{(k)} + \frac{c_k}{R_k} \nabla^2 w \right) - \frac{G^{[k-1]} \eta_{k0}}{s_{k-1}} \left(\Theta^{(k)} - \Theta^{(k-1)} + \frac{c_{k-1}}{R_{k-1}} \nabla^2 w \right) + \frac{1}{\sin \alpha} \left\{ \frac{\partial}{\partial \alpha} [(q_1^{(k)} + q_{*1}^{(k)}) \sin \alpha] + \frac{\partial (q_2^{(k)} + q_{*2}^{(k)})}{\partial \beta} \right\} = 0, \quad (1.7)$$

$$\frac{A_k}{R_k^2} (1 - \nu_k) \nabla^2 \chi^{(k)} + 2 \left[\frac{G^{[k]} \eta_{kn}}{s_k} (\chi^{(k+1)} - \chi^{(k)}) - \frac{G^{[k-1]} \eta_{k0}}{s_{k-1}} (\chi^{(k)} - \chi^{(k-1)}) \right] + \frac{1}{\sin \alpha} \left\{ \frac{\partial}{\partial \alpha} [(q_2^{(k)} + q_{*2}^{(k)}) \sin \alpha] - \frac{\partial (q_1^{(k)} + q_{*1}^{(k)})}{\partial \beta} \right\} = 0 \quad (1.8)$$

$$\sum_{k=0}^n \frac{A_k}{R_k^2} [-(1 + \nu_k) \Theta^{(k)} - d_k^2 \nabla^2 \nabla^2 w] +$$

$$\begin{aligned}
 & + \sum_{k=0}^{n-1} \frac{G^{[k]}}{s_k} \left(\frac{c_k^*}{R_k} + \frac{c_k^{**}}{R_{k+1}} \right) \left(\Theta^{(k+1)} - \Theta^{(k)} + \frac{c_k}{R_k} \nabla^2 w \right) - \\
 & - \sum_{k=0}^n (\rho^{(k)} h_k + \rho^{[k]} s_k \eta_{kn}) \frac{\partial^2 w}{\partial t^2} + \sum_{k=0}^n q_s^{(k)} = 0
 \end{aligned} \tag{1.9}$$

2. В дальнейшем рассмотрим преимущественно нормальные формы колебаний, описываемые уравнениями (1.7) и (1.9), причем тангенциальными внешними нагрузками и тангенциальными силами инерции будем пренебрегать ($q_1^{(k)} = q_2^{(k)} = q_{*1}^{(k)} = q_{*2}^{(k)} = 0$). В этом случае (1.8) — однородная система уравнений с решениями $\chi^{(k)} = 0$. Пусть на оболочку действует нормальная внешняя гармоническая нагрузка

$$\sum_{k=0}^n q_s^{(k)} = q(\alpha, \beta) e^{i\Omega t}$$

Решение системы (1.7), (1.9) представим в комплексной форме $w(\alpha, \beta, t) = w^\circ(\alpha, \beta) e^{i\Omega t}$, $\Theta^{(k)}(\alpha, \beta, t) = \Theta^{\circ(k)}(\alpha, \beta) e^{i\Omega t}$, где $w^\circ(\alpha, \beta)$ и $\Theta^{\circ(k)}(\alpha, \beta)$ — комплексные амплитуды при заданной действительной частоте возбуждения Ω . Переходя к безразмерным параметрам, получим следующие уравнения нормальных колебаний сферической оболочки с покрытием:

$$\begin{aligned}
 & \delta_k \nabla^2 [\Theta^{\circ(k)} - (1 - \nu_k) \nabla^2 w^\circ] + \lambda_k \eta_{kn} \left(\Theta^{\circ(k+1)} - \Theta^{\circ(k)} + \frac{c_k}{R_k} \nabla^2 w^\circ \right) - \\
 & - \lambda_{k-1} \eta_{k0} \left(\Theta^{\circ(k)} - \Theta^{\circ(k-1)} + \frac{c_{k-1}}{R_{k-1}} \nabla^2 w^\circ \right) = 0
 \end{aligned} \tag{2.1}$$

$$\begin{aligned}
 & \sum_{k=0}^n \delta_k [(1 + \nu_k) \Theta^{\circ(k)} + d_k^2 \nabla^2 \nabla^2 w^\circ] - \sum_{k=0}^{n-1} \lambda_k \left(\frac{c_k^*}{R_k} + \frac{c_k^{**}}{R_{k+1}} \right) \left(\Theta^{\circ(k+1)} - \Theta^{\circ(k)} + \right. \\
 & \left. + \frac{c_k}{R_k} \nabla^2 w^\circ \right) - M \Omega^{*2} w^\circ = q^\circ
 \end{aligned} \tag{2.2}$$

$$\delta_k = \frac{A_k}{A_0} \left(\frac{R_0}{R_k} \right)^2, \quad \lambda_k = \frac{G^{[k]} R_0^2}{s_k A_0}, \quad \Omega^{*2} = \Omega^2 \frac{\rho^{(0)} H_0 R_0^2}{A_0}$$

$$M = \sum_{k=0}^n \left(\frac{\rho^{(k)}}{\rho^{(0)}} \frac{h_k}{H_0} + \frac{\rho^{[k]} s_k}{\rho^{(0)} H_0} \eta_{kn} \right), \quad q^\circ = q \frac{R_0^2}{A_0}$$

Здесь H_0 , R_0 , A_0 ($E^{(0)}$, ν_0), $\rho^{(0)}$ — параметры, характеризующие несущую оболочку.

Пусть внешнее вибродемпфирующее покрытие имеет регулярное строение, является тонким и состоит из чередующихся n мягких и n жестких слоев с параметрами s , G , $\rho^{[1]}$; h , R , E , ν , A , $\rho^{(1)}$; $R = R_0 + 1/2(H_0 + H)$ — средний радиус покрытия вместо R_k ($k=1, 2, \dots, n$) и $H = n(s+h)$ — толщина покрытия. Внешняя нагрузка может быть разложена в ряд по сфериче-

ским функциям

$$q^\circ(\alpha, \beta) = \sum_{l=0}^{\infty} \sum_{m=-l}^l q_{lm}^{\circ\circ} Y_l^{(m)}(\alpha, \beta), \quad Y_l^{(0)}(\alpha, \beta) = P_l(\cos \alpha) \quad (2.3)$$

$$Y_l^{(m)}(\alpha, \beta) = P_l^m(\cos \alpha) \begin{cases} \sin m\beta & (m > 0) \\ \cos m\beta & (m < 0) \end{cases}$$

Здесь $P_l^m(\cos \alpha)$ — присоединение функции Лежандра и $P_l(\cos \alpha)$ — полиномы Лежандра. Решение системы (2.1), (2.2) тоже ищем в виде рядов по сферическим функциям

$$w^\circ(\alpha, \beta) = \sum_{l=0}^{\infty} \sum_{m=-l}^l w_{lm}^{\circ\circ} Y_l^{(m)}(\alpha, \beta), \quad \Theta^{\circ(k)}(\alpha, \beta) = \sum_{l=0}^{\infty} \sum_{m=-l}^l \Theta_{lm}^{\circ\circ(k)} Y_l^{(m)}(\alpha, \beta) \quad (2.4)$$

После подстановки (2.4) в (2.1) с учетом равенств $\nabla^2 Y_l^{(m)} = -\kappa Y_l^{(m)}$, $\kappa = l(l+1)$ получим разностную неоднородную задачу для $\Theta_{lm}^{\circ\circ(k)}$. Уравнения при $k=1$ и $k=n$ выполняют при этом роль граничных условий. Общее решение системы (2.1) имеет вид

$$\Theta^{\circ\circ(k)} = C_1 \operatorname{sh} \mu k + C_2 \operatorname{ch} \mu k + (1-\nu) w^{\circ\circ} \quad (k=1, 2, \dots, n)$$

$$C_1 = \frac{1}{N} \left\{ \frac{c}{R} \kappa w^{\circ\circ} - C_2 [\operatorname{ch}(n+1)\mu - \operatorname{ch} n\mu] \right\}, \quad C_2 = \Theta^{\circ\circ(0)} - F w^{\circ\circ}$$

$$F = (1-\nu) + \kappa(c/R - c_0/R_0), \quad N = \operatorname{sh}(n+1)\mu - \operatorname{sh} n\mu \quad (2.5)$$

$$\Theta^{\circ\circ(0)} = w^{\circ\circ} \kappa \left[\frac{1-\nu_0}{\lambda} + \left(\frac{c}{RN} \operatorname{sh} \mu - \frac{c_0}{R_0} \right) - FS + (1-\nu) \right] (1 + \kappa/\lambda + S)^{-1}$$

$$S = [\operatorname{sh} n\mu - \operatorname{sh}(n-1)\mu] / N$$

Параметр μ находится из уравнения $\operatorname{ch} \mu = 1 + \delta\kappa/(2\lambda)$. Индексы l, m для краткости опущены.

Комплексные величины $w_{lm}^{\circ\circ}$ найдем из (2.2) после исключения $\Theta^{\circ(k)}$ при помощи (2.4), (2.5). В результате получим

$$w^{\circ\circ} = q^{\circ\circ} / (T - M\Omega^2) \quad (2.6)$$

$$T = (1+\nu_0) \Theta^{*(0)} + d_0^2 \kappa^2 + \delta \left[(1+\nu) \sum_{k=1}^n \Theta^{*(k)} + nd^2 \kappa^2 \right] -$$

$$- \lambda \left\{ \left(\frac{c_0^*}{R_0} + \frac{c_0^{**}}{R} \right) \left(\Theta^{*(1)} - \Theta^{*(0)} - \frac{c_0}{R_0} \kappa \right) + \frac{c}{R} \left[\Theta^{*(n)} - \Theta^{*(1)} - \right. \right. \quad (2.7)$$

$$\left. \left. - (n-1) \frac{c}{R} \kappa \right] \right\}, \quad \Theta^{*(k)} = \frac{\Theta^{\circ\circ(k)}}{w^{\circ\circ}}$$

Вынужденные (преимущественно поперечные) колебания описываются формулой

$$w_r = \operatorname{Re} \sum_{l=0}^{\infty} \sum_{m=-l}^l w_{lm}^{\circ\circ} Y_l^{(m)} e^{i\Omega t}$$

Для вычисления эффективности демпфирования многослойного покрытия важны тангенциальные перемещения $v_1^{(k)}$ и $v_2^{(k)}$.

Из формул (1.3) после преобразования получим

$$\begin{aligned} \nabla^2(v_2^{(h)} \sin \alpha) &= \frac{\partial}{\partial \beta} (\Theta^{(h)} - 2w) + \frac{2}{\sin \alpha} \frac{\partial}{\partial \alpha} (\chi^{(h)} \sin^2 \alpha) \\ \nabla^2(v_1^{(h)} \sin \alpha) &= \frac{1}{\sin \alpha} \frac{\partial}{\partial \alpha} [(\Theta^{(h)} - 2w) \sin^2 \alpha] - 2 \frac{\partial \chi^{(h)}}{\partial \beta} \end{aligned}$$

Полагая $\chi^{(h)} = 0$, найдем

$$\begin{aligned} v_2^{(h)} &= -\frac{1}{\sin \alpha} \sum_{l=0}^{\infty} \sum_{m=-l}^l \frac{m}{\kappa} C_{lm}^{(h)} Y_l^{(-m)} \\ v_1^{(h)} &= \sin \alpha \sum_{l=0}^{\infty} \sum_{m=-l}^l \frac{1}{\kappa} C_{lm}^{(h)} \frac{\partial Y_l^{(m)}}{\partial x} \\ C_{lm}^{(h)} &= (\Theta_{lm}^{*(h)} - 2) w_{lm}^{\circ\circ}, \quad x = \cos \alpha \end{aligned} \quad (2.8)$$

Исходные уравнения позволяют исследовать свободные колебания. Для этого необходимо положить $q=0$ и заменить действительную частоту возбуждения Ω комплексной [3] частотой свободных колебаний ω . С учетом (2.7) получим

$$\omega^* = (T/M)^{1/2}, \quad \omega^* = \omega_r^* + i\omega_i^* \quad (2.9)$$

где ω_r^* — действительная часть и ω_i^* — мнимая часть безразмерной частоты.

3. При практическом применении вибродемпфирующих слоистых покрытий в конструкциях необходимо произвести оценку их эффективности. В качестве меры демпфирования выберем относительное рассеяние энергии [4] $\psi_W = \Delta W/W$, где ΔW — величина энергии, рассеиваемой за период, W — некоторое среднее за период значение полной механической энергии в конструкции. Учитывая, что ΔW и W состояются из частей, относящихся к жестким и мягким слоям, получим

$$\psi_W = \left(\sum_k \Delta W^{(h)} + \sum_k \Delta W^{[k]} \right) \left(\sum_k W^{(h)} + \sum_k W^{[k]} \right)^{-1} \quad (3.1)$$

Выражение для потенциальной энергии жесткого слоя, включая несущую оболочку, имеет вид

$$\begin{aligned} W^{(h)} &= \frac{1}{2} \iint_A \frac{E_r^{(h)} h_k}{1-\nu_k^2} [(e_{11}^{(h)} + e_{22}^{(h)})^2 + 2(1-\nu_k)(e_{12}^{(h)2} - e_{11}^{(h)} e_{22}^{(h)})] dA + \\ &+ \frac{1}{2} \iint_A \frac{E_r^{(h)} h_k^3}{12(1-\nu_k^2)} [(\kappa_{11}^{(h)} + \kappa_{22}^{(h)})^2 + 2(1-\nu_k)(\kappa_{12}^{(h)2} - \kappa_{11}^{(h)} \kappa_{22}^{(h)})] dA \end{aligned} \quad (3.2)$$

Потенциальная энергия мягкого слоя равна

$$W^{[k]} = 2 \iint_A G_r^{[k]} s_k [(\varepsilon_{13}^{[k]})^2 + (\varepsilon_{23}^{[k]})^2] dA \quad (3.3)$$

Здесь A — срединная поверхность слоя. Энергия, рассеиваемая в жестком $\Delta W^{(h)}$ и мягком $\Delta W^{[k]}$ слоях, вычисляется по формулам (3.2) и (3.3)

заменой модулей $E_r^{(h)}, G_r^{[h]}$ на $E_i^{(h)}, G_i^{[h]}$ и умножением интегралов на 2π . Для приложений необходимо знать характеристику демпфирования при частотах и формах колебаний, близких к собственным. Поэтому оценим эффективность демпфирования по установившимся вынужденным колебаниям, происходящим по одной из собственных форм, учитывая только соответствующую составляющую q_{lm} внешней нагрузки. Можно определить также относительное рассеяние энергии при свободных колебаниях, выражая его через комплексные частоты $\psi_0 = 4\pi\omega_i/\omega_r$.

4. В качестве примера рассмотрим замкнутую сферическую оболочку с регулярно слоистым покрытием, на которую воздействуют две диаметрально противоположные силы $F_0 e^{i\Omega t}$, приложенные в полюсах. Следуя [5], для обобщенных сил получаем выражение ($m=0$):

$$q_l^{\circ\circ} = \begin{cases} \frac{F_0}{2\pi R^2} \frac{R_0^2}{A_0} (2l+1) & (l=2j) \\ 0 & (l=2j+1) \end{cases}$$

Тогда из (2.6) находятся комплексные величины $w_l^{\circ\circ}$ ($m=0$):

$$w_l^{\circ\circ} = \frac{F_0}{2\pi R^2} \frac{R_0^2}{A_0} \frac{2l+1}{T_l - M\Omega^{*2}} \quad (4.1)$$

и амплитуда нормальных смещений определяется выражением

$$|w^\circ| = \frac{F_0}{2\pi R^2} \frac{R_0^2}{A_0} \left| \sum_{l=0,2,4} \frac{2l+1}{T_l - M\Omega^{*2}} P_l(\cos \alpha) \right|$$

$$T_0 = 2[1 + \nu_0 + \delta(1 + \nu)n] \quad (4.2)$$

В резонансном состоянии для каждой собственной частоты экстремальные значения перемещений, определяемые по формуле

$$|w_l^{\circ\circ}|_{\max} = \frac{F_0}{2\pi R^2} \frac{R_0^2}{A_0} \frac{2l+1}{\text{Im}(T_l)}$$

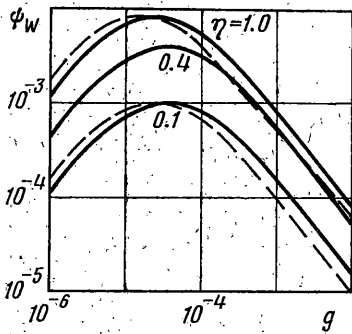
имеют место при частоте возбуждения $\Omega^* = [\text{Re}(T_l)/M]^{1/2}$. При вычислении эффективности вибродемпфирующего слоистого покрытия предполагаем, что рассеяние энергии происходит только в мягких слоях. По формулам (3.1), (3.2) с учетом выражений (2.7) и соответствующих производных для случая $m=0$ получим

$$\psi_w = 2\pi\eta \sum_{h=0}^{n-1} W^{*[h]} \left(\sum_{h=0}^n W^{*(h)} + \sum_{h=0}^{n-1} W^{*[h]} \right)^{-1}$$

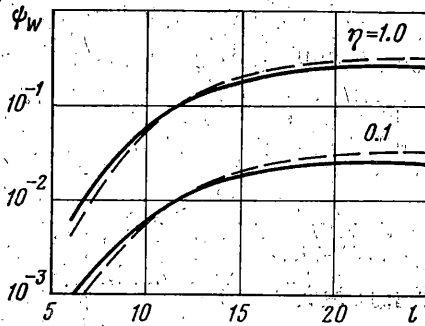
$$\sum_{h=0} W^{*(h)} = |\Theta^{*(0)2} - (1-\nu_0)[2(\Theta^{*(0)}-1) + \kappa^{-1}(\Theta^{*(0)}-2)^2]| +$$

$$+ d_0^2 \kappa [\kappa - (1-\nu_0)] + \left(\frac{R_0}{R_0}\right)^2 \delta \sum_{h=1} [\Theta^{*(h)2} - (1-\nu)[2(\Theta^{*(h)}-1) +$$

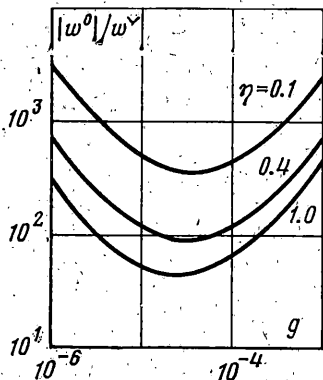
$$+ \kappa^{-1}(\Theta^{*(h)}-2)^2 + d^2 \kappa [\kappa - (1-\nu)]]$$



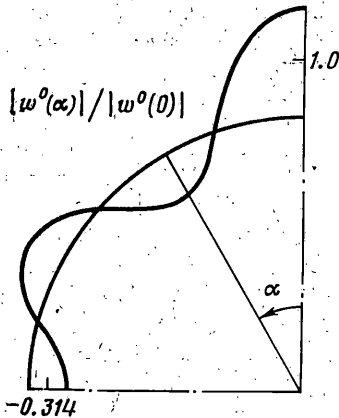
Фиг. 1



Фиг. 2



Фиг. 3



Фиг. 4

$$\sum_{k=0}^{n-1} W^{*[k]} = \frac{\lambda_r}{\kappa} \left[\left| \Theta^{*(1)} - \Theta^{*(0)} - \kappa \frac{c_0}{R_0} \right|^2 + \left(\frac{R}{R_0} \right)^2 \sum_{k=1}^{n-1} \left| \Theta^{*(k+1)} - \Theta^{*(k)} - \kappa \frac{c}{R} \right|^2 \right]$$

$$\lambda_r = \text{Re}(\lambda) = G_r R_0^2 / s A_0$$

Обсуждение численных результатов. Предполагалось, что покрытие является регулярным и материалы жестких слоев, включая несущую оболочку, — упругими. Варьировались параметры, представляющие собой безразмерные величины $g = -G_r(1-\nu^2)/E_r$, $e = E_r(1-\nu_0^2)/[E_r^{(0)}(1-\nu^2)]$, коэффициент армирования $h/(h+s)$ и тангенс потерь для материала мягких слоев η . Здесь выбраны значения: $\nu_0, \nu = 0.3$, $H_0/R_0 = 0.01$, $H/H_0 = n(s+h)/H_0 = 0.2$, $h/(h+s) = 0.5$, $\rho^{(1)}/\rho^{(0)} = 1.0$, $\rho^{(1)}/\rho^{(0)} = 0.3$, $e = 1.0$.

На фиг. 1 и 2 показано относительное рассеяние энергии в зависимости от величины g , а также от числа l собственной формы колебаний. В качестве параметров приняты тангенс потерь η и количество слоев в покрытии (сплошные линии — $n=1$, штриховые линии — $n=2$). На фиг. 1 видно, что существуют оптимальные значения g для демпфирования, зависящего прежде всего от тангенса потерь и в меньшей степени от количества слоев. Результаты, представленные на фиг. 2, показывают, что эффективность вибродемпфирующего покрытия постоянно увеличивается до $l=18$, а при $l > 18$ почти не изменяется. Заметим, кроме того, что результаты, полученные при рассмотрении вынужденных (ψ_w) и свободных колебаний (ψ_0), совпадают.

На фиг. 3 представлена зависимость от параметра g резонансной амплитуды $|w^o|$ в полусе (4.2), отнесенной к статическому перемещению $w^v = |w^o(\Omega^*=0)|$ при частоте возбуждения Ω^* , близкой к шестой собственной частоте. Полученные здесь результаты подчеркивают выводы относительно уровня демпфирования и наиболее благоприятных значений параметра g (фиг. 1). На фиг. 4 показана зависимость пе-

ремецений $|w^\circ|$ (4.2) от угла α , характеризующая форму колебаний при частоте возбуждения Ω^* , близкой к шестой собственной частоте.

Автор благодарит В. В. Болотина и Ю. Н. Новичкова за внимание к работе и полезные замечания.

Поступила 6 VII 1979

ЛИТЕРАТУРА

1. Bolotin V. V. Vibration of layered elastic plates. Proc. vibr. problems, 1963, vol. 4, No. 4, p. 331-346.
2. Москаленко В. Н., Новичков Ю. Н. Изгиб толстых многослойных оболочек. Инж. ж. МГТ, 1968, № 3.
3. Работнов Ю. Н. Элементы наследственной механики твердых тел. М., «Наука», 1977.
4. Болотин В. В., Литвинов А. Н. К теории вибродемпфирующих полимерных покрытий. Механика полимеров, 1978, № 2.
5. Манасян А. А. Колебания сферической оболочки под действием сосредоточенной силы. Тр. IV Всес. конф. по теории оболочек и пластин. Изд-во АН АрмССР, Ереван, 1964.